

الاتحاد الدولي للاتصالات



قطاع الاتصالات الراديوية في الاتحاد الدولي للاتصالات

**ITU-R F.1249-3**  
**التوصية**  
**(2013/02)**

**المتطلبات التقنية والتشغيلية التي تيسر التقاسم  
بين أنظمة الاتصالات من نقطة-إلى-نقطة  
في الخدمة الثابتة والخدمة بين السواتل  
في النطاق GHz 27,5-25,25**

**السلسلة F**

**الخدمة الثابتة**

## تمهيد

يضطلع قطاع الاتصالات الراديوية بدور يتمثل في تأمين الترشيد والإنصاف والفعالية والاقتصاد في استعمال طيف الترددات الراديوية في جميع خدمات الاتصالات الراديوية، بما فيها الخدمات الساتلية، وإجراء دراسات دون تحديد مدى الترددات، تكون أساساً لإعداد التوصيات واعتمادها. ويؤدي قطاع الاتصالات الراديوية وظائفه التنظيمية والسياسية من خلال المؤتمرات العالمية والإقليمية للاتصالات الراديوية وجمعيات الاتصالات الراديوية بمساعدة لجان الدراسات.

### سياسة قطاع الاتصالات الراديوية بشأن حقوق الملكية الفكرية (IPR)

يرد وصف للسياسة التي يتبعها قطاع الاتصالات الراديوية فيما يتعلق بحقوق الملكية الفكرية في سياسة البراءات المشتركة بين قطاع تقنيين للاتصالات وقطاع الاتصالات الراديوية والمنظمة الدولية للتوكيد القياسي واللجنة الكهربائية الدولية (ITU-T/ITU-R/ISO/IEC) والمشار إليها في الملحق 1 بالقرار 1 ITU-R. وترت الاستثمارات التي ينبغي لحاملي البراءات استعمالها لت分成 بين البراءات أو للتصریح عن منح رخص في الموقع الإلكتروني <http://www.itu.int/ITU-R/go/patents/en> حيث يمكن أيضاً الاطلاع على المبادئ التوجيهية الخاصة بتطبيق سياسة البراءات المشتركة وعلى قاعدة بيانات قطاع الاتصالات الراديوية التي تتضمن معلومات عن البراءات.

### سلسلة توصيات قطاع الاتصالات الراديوية

(يمكن الاطلاع عليها أيضاً في الموقع الإلكتروني <http://www.itu.int/publ/R-REC/en>)

العنوان	السلسلة
البث الساتلي	BO
التسجيل من أجل الإنتاج والأرشفة والعرض؛ الأفلام التلفزيونية	BR
الخدمة الإذاعية (الصوتية)	BS
الخدمة الإذاعية (التلفزيونية)	BT
<b>الخدمة الثابتة</b>	<b>F</b>
الخدمة المتنقلة وخدمة التحديد الراديوى للموقع وخدمة الهواة والخدمات الساتلية ذات الصلة	M
انتشار الموجات الراديوية	P
علم الفلك الراديوى	RA
أنظمة الاستشعار عن بعد	RS
الخدمة الثابتة الساتلية	S
التطبيقات الفضائية والأرصاد الجوية	SA
تقاسم الترددات والتنسيق بين أنظمة الخدمة الثابتة الساتلية والخدمة الثابتة	SF
إدارة الطيف	SM
التحجيم الساتلي للأخبار	SNG
إرسالات الترددات المعيارية وإشارات التوقيت	TF
المفردات والمواضيع ذات الصلة	V

ملاحظة: تمت الموافقة على النسخة الإنكليزية لهذه الترصية الصادرة عن قطاع الاتصالات الراديوية بموجب الإجراء الموضح في القرار 1 ITU-R.

النشر الإلكتروني  
جنيف، 2014

## \*ITU-R F.1249-3 التوصية

**المطلبات التقنية والتشغيلية التي تيسر التقاسم بين أنظمة الاتصالات من نقطة إلى نقطة في الخدمة الثابتة والخدمة بين السواتل في النطاق GHz 27,5-25,25**

(المسئلان 252/5 ITU-R 118/7)

(2009-2000-1997)

**مجال التطبيق**

تقدم هذه التوصية الحدود القصوى لكتافة القدرة المشعة المكافئة المتاحية (e.i.r.p.) للإرسال في محطات الخدمة الثابتة (FS) من نقطة إلى نقطة باتجاه مدار السواتل المستقرة بالنسبة إلى الأرض بهدف إتاحة التقاسم مع الخدمة بين السواتل في النطاق GHz 27,5-25,25. وتراعي القيمة المرجعية للقدرة e.i.r.p. في هذه التوصية ضرورة الإرسال في أقل مستوى لازم نظراً لأنها تأخذ في الاعتبار استعمال التحكم الآلي بقدرة المرسل (ATPC) في محطات الخدمة الثابتة من أجل إجراء عمليات التسريع.

إن جمعية الاتصالات الراديوية للاتحاد الدولي للاتصالات،

إذ تضع في اعتبارها

- أ) أن النطاق GHz 27,5-25 موزع على الخدمة بين السواتل والخدمة الثابتة على أساس أولي؛
- ب) أن نطاق التردد هذا مستعمل لتطبيقات خدمة الأبحاث الفضائية واستكشاف الأرض المتعلقة بوصلات العودة لخدمة بين السواتل إلى سواتل ترحيل البيانات (DRS) في المدار الساتلي المستقر بالنسبة إلى الأرض (GSO)؛
- ج) أن بعض محطات الإرسال في الخدمة الثابتة (FS) قد تستطيع استعمال التحكم الآلي بقدرة الإرسال (ATPC) بخفض قدرها المشعة المكافئة المتاحية (e.i.r.p.) في ظروف الجو الصافي؛
- د) أن التداخل الجماعي من الفصوص الجانبية لهوائيات عدد كبير من محطات الإرسال في الخدمة الثابتة غير المسدة باتجاه سائل DRS تبدو مسمومة. لكن اقتران الحزمة الرئيسية من محطة إرسال واحدة في الخدمة الثابتة مسددة باتجاه سائل DRS يمثل احتمال حدوث حالة تداخل شديد (انظر الملحق 1)؛
- ه) أنه حتى إذا طلبت بعض الوصلات الطويلة جداً للخدمة الثابتة تشغيلها بكثافة مرتفعة للقدرة e.i.r.p. فإن المحطات المستعملة على هذه الوصلات تعمل عموماً عند زوايا ارتفاع معدومة أو شبه معدومة، مما يحد كثيراً من احتمالات التداخل بسبب التوهين في الجو؛
- و) أن التضاريس الطبيعية والمباني تعيق في بعض الحالات إرسالات الخدمة الثابتة في الجو أو تسبب توهيناً شديداً في مسارات التداخل المحتملة؛
- ز) أنه يمكن استعمال تقنيات تخفيف التداخل في الخدمتين على حد سواء من أجل التخفيف إلى أبعد حد من التداخل الناجم عن أنظمة الخدمة الثابتة في أنظمة السواتل DRS،

---

\* أعدت لجنة الدراسات 7 ولجنة الدراسات 9 سابقاً للاتصالات الراديوية مع هذه التوصية، وينبغي أن تتضطلع لجنتا الدراسات 5 و7 بإجراء التعديلات لاحقاً.

## وإذ تدرك

- أ) أن التوصية ITU-R SA.1155 تنص على أن الحد الأقصى لمستويات الكثافة الطيفية لقدرة التداخل الجماع الذي يصل إلى السواتل DRS المستقرة بالنسبة إلى الأرض والعاملة في خدمة ما بين السواتل في النطاق 27,5-25,25 GHz ينبعي إلا يتجاوز -178 dB (W/kHz) لمدة تزيد عن 0,1% من الوقت؛
- ب) أن عدداً محدوداً من شبكات سواتل ترحيل البيانات يستعمل في المدار الساتلي المستقر بالنسبة إلى الأرض، على التحو الوارد في التوصية ITU-R SA.1276 (انظر الملاحظة 1)؛
- ج) أن التوصية ITU-R F.758 توفر مجموعة واسعة التنوع من معلمات الأنظمة اللاسلكية الثابتة تم الحصول عليها عن طريق أنظمة تمثيلية لبعض مدارات التردد،

## توصي

1 1 أن يكون أقصى قدرة مشعة مكافئة متناثبة داخل عرض النطاق القناة، لحظة خدمة ثابتة من هذا القبيل وحسب الاقتضاء، هو أدنى قدر لازم للتشغيل السليم؛

2 2 بما يلي، فيما يتعلق بموقع مدار الساتل المستقر بالنسبة إلى الأرض المحدد في التوصية ITU-R SA.1276 (انظر الملاحظة 1) :

1.2 ألا تتجاوز كثافة القدرة e.i.r.p. لحظة خدمة ثابتة في اتجاه الموقع المذكورة أعلاه، وفي الحدود الممكنة، القيمة 24+ dBW في أي نطاق قدره 1 MHz (انظر الملاحظة 2)؛

2.2 إمكانية أن تستعمل محطة الإرسال في حالات التوهين الناجم عن الهواطل بين محطتي الإرسال والاستقبال في الخدمة الثابتة، التحكم ATPC من أجل زيادة قدرة إرسالها بمقدار لا يتعدى توهين الهواطل، أي أن كثافة القدرة e.i.r.p. في اتجاه موقع مدار الساتل المستقر بالنسبة إلى الأرض المذكور آنفاً لا تتجاوز 33+ dBW في أي نطاق قدره 1 MHz؛

3.2 إمكانية رفع قيمة كثافة القدرة e.i.r.p. لحظة الخدمة الثابتة، عندما يكون التوهين الجوي في اتجاه موقع المدار الساتلي المستقر المذكور آنفاً والذي يتم حسابه باستعمال إجراءات الملحق 1 بالتوصية ITU-R P.676، مع مراعاة زاوية الارتفاع باتجاه موقع المدار وارتفاع هوائي إرسال الخدمة الثابتة والمعلومات المتوفرة محلياً عن متوسط مقدار بخار الماء في الشهر الأكثر جفافاً وغيرها من المعلمات الجوية (انظر الملاحظة 3)، أعلى من 3 dB؛

4.2 إمكانية زيادة كثافة القدرة e.i.r.p. في هذا الاتجاه بمقدار يحسب باستعمال طرائق التوصية ITU-R P.526 مع مراعاة ظاهرة الانكسار الجوي على هذا المسار (انظر التوصية ITU-R F.1333)، عندما تكون مناطق فريتلن في المسار الذاهب من محطة إرسال خدمة ثابتة في اتجاه موقع المدار المذكورة آنفاً مسدودة كلياً أو جزئياً؛

5.2 إمكانية استخدام الطريقة الواردة في الملحق 2 في حساب زوايا الفصل اعتباراً من الموقع المحدد في المدار الساتلي المستقر بالنسبة إلى الأرض؛

3 بما يلي، فيما يتعلق بجميع الواقع الأخرى في المدار الساتلي المستقر بالنسبة إلى الأرض:

1.3 ألا تتجاوز كثافة القدرة e.i.r.p. لحظة خدمة ثابتة من هذا القبيل في اتجاه المدار الساتلي المستقر القيمة 33+ dBW في أي نطاق قدره 1 MHz؛

2.3 إمكانية استخدام الطريقة الواردة في الملحق 2 بالتوصية ITU-R SF.765 في حساب زوايا الفصل اعتباراً من المدار الساتلي المستقر بالنسبة إلى الأرض (انظر الملاحظة 4)؛

4

باعتبار الملاحظات الأربع التالية 1 و 2 و 3 و 4 جزءاً أساسياً من هذه التوصية:

الملاحظة 1 - تحدد التوصية 3 ITU-R SA.1276 الموقع التالى فى مدار السواتل المستقرة بالنسبة إلى الأرض:

10,6° شرقاً، 16,4° شرقاً، 16,8° شرقاً، 21,5° شرقاً، 47° شرقاً، 59° شرقاً، 77° شرقاً، 80° شرقاً، 85° شرقاً، 89° شرقاً، 90,75° شرقاً، 95° شرقاً، 113° شرقاً، 121° شرقاً، 133° شرقاً، 160° شرقاً، 171° شرقاً، 176,8° شرقاً، 177,5° شرقاً، 12° غرباً، 16° غرباً، 32° غرباً، 41° غرباً، 44° غرباً، 46° غرباً، 49° غرباً، 62° غرباً، 139° غرباً، 160° غرباً، 170° غرباً، 171° غرباً، 174° غرباً.

وعند مراجعة التوصية ITU-R SA.1276 ومن ثم إضافة موقع مدارية DRS جديدة، فإن حماية الموقع المدارية الجديدة الواردة في مراجعة هذه التوصية لا تطبق إلا على محطات الخدمة الثابتة التي تم تركيبها بعد تاريخ سريان التوصية ITU-R SA.1276 المراجعة.

الملاحظة 2 - يمكن خفض التداخل في سواتل DRS الذي قد تسببه أنظمة ساتلية ثابتة من نقطة-إلى-نقطة تتجاوز كثافة قدرها e.i.r.p. الحدود التي ينص عليها البند 1.2 من توصيى، من خلال تجنب استعمال الترددات المركبة المخصصة لهذه السواتل، وفي حدود الإمكان. وتحتاج تقنية التخفيف هذه مزيداً من الدراسة.

الملاحظة 3 - تقترح التوصية ITU-R F.1404 تقدير التوهين الجوى باستعمال معلومات تفصيلية عن المعلمات الجوية المحلية للنطاق GHz 27,5-25,25. وفي حال عدم توفرها يقترح بصفة مؤقتة اتباع إجراء بسيط يستند إلى نماذج مناخية مبسطة. غير أن هذه الطريقة تتطلب مزيداً من الدراسة. ويرجى من الإدارات التي توفر لديها معلومات أرصاد جوية محلية تستعمل لتقدير ظواهر التوهين الناجم عن الغاز أن ترسل هذه المعلومات إلى قطاع الاتصالات الراديوية (تحديداً إلى لجنة الدراسات 3 و 5 لقطاع الاتصالات الراديوية).

الملاحظة 4 - أُعدت التوصية ITU-R SF.765 أصلأً من أجل حساب قيم فصل دقيقة تصل حتى 2°. ويجد بالذكر أن الخوارزمية المستعملة في هذه التوصية قابلة أيضاً للتمديد حتى 10 درجات باستعمال المعادلة  $B = 10^{\circ}$  الواردة في الفقرة 1 من الملحق 2 بالتوصية ITU-R SF.765.

## الملحق 1

### أقصى كثافة قدرة e.i.r.p. لمسلات نظام ثابت راديوى من نقطة-إلى-نقطة تعمل في النطاق GHz 27,5-25,25 المقاس مع الخدمة بين السواتل

#### 1 مقدمة

يلخص هذا الملحق الدراسات التي تبين إمكانية الوفاء بمعايير الحماية الواردة في التوصية ITU-R SA.1155 والخاصة بسوائل ترحيل بيانات (DRS)، باستثناء حالة اقتران الحزم الرئيسية الناتج عن إرسالات محطات راديوية من نقطة-إلى-نقطة.

#### 2 نماذج الأنظمة

##### 1.2 نشر أنظمة ثابتة من نقطة-إلى-نقطة في النطاق GHz 27,5-25,25

تستنتج الفرضيات التالية المتعلقة بالخصائص التقنية والتتشغيلية لمحطات الخدمة الثابتة من نقطة-إلى-نقطة من الأنظمة القائمة في النطاق GHz 23:

- يفترض وجود 100 000 مرسل على الصعيد العالمي في النطاق GHz 27,5-25,25 (نطاق الترددات 26 GHz).

- تقدر توزيع مستويات كثافة القدرة e.i.r.p. للمرسلات:

- يقدر أن أكثر من 70% من مجموع وصلات الخدمة الثابتة في النطاق GHz 27,5-25,25 يعمل تحت dB(W/MHz) 24+.

- يقدر أن أقل من 25% منها يعمل في المدى بين 33+ dB(W/MHz) و 24+ dB(W/MHz).
  - يقدر أن أقل من 5% يعمل فوق 33+ dB(W/MHz).
- يفترض تردد واحد لكل مرسل. وتعمل نصف المرسلات في اتجاه "الذهاب" ونصفها الآخر في اتجاه "الإياب".
- يفترض أن يكون توزيع الترددات بدلاًة القنوات مطابقاً لأحكام التوصية ITU-R F.748 (يتراوح مدى عروض النطاق الموصى بها للقناة بين MHz 112 و MHz 3,5 و MHz 2,5 وهنالك إمكانية إضافة عروض نطاق قدرها MHz 1,25 مستقبلاً).
- تتوزع قنوات التشغيل في كامل النطاق.
- تقع زوايا الارتفاع في المدى بين 0° و 5°.
- يتراوح طول المسار عادةً بين 2 و 5 km.
- يشترط افتراض هوماش خبو ناجم عن الأمطار كبيرة في النطاق 26 GHz وتحقيق تيسير بنسبة 99,999%.
- يتوجه الموردون الرئيسيون للخدمات الثابتة إلى اختيار أضعف قدرة إرسال ممكنة بغية تقليل التباعد في تشكيلات إعادة استعمال الترددات.
- لا يتاح إلا عدد ضئيل من أنواع التجهيزات حالياً مزود بوظيفة تحكم أوتوماتي في القدرة.

## 2.2 تطوير السواتل DRS التي تستعمل الوصلات من الفضاء إلى الخدمة بين السواتل

فيما يلي ملخص الخصائص التقنية والتشغيلية للسوائل DRS التي ينبغي أن تستعملها وكالة NASA في الولايات المتحدة الأمريكية ووكالة الفضاء الأوروبية (ESA) ووكالة الفضاء الروسية والوكالة اليابانية لاستكشاف الفضاء (JAXA) والتي ستستعمل في الوصلات فضاء-فضاء في النطاق 26 GHz:

الموقع المدارية الواردة في التوصية ITU-R SA.1276

الخصائص النموذجية للسوائل DRS:

- هوائيان بكسب عالي ونفاذ وحيد بكسب ذروة مقداره 58 dBi؛
- عرض حزمة هوائي الاستقبال عند 3 dB أقل من 0,2°؛
- هوائي الاستقبال قادر على معالجة إشارة عودة واحدة في النطاق GHz 30/20؛
- درجة حرارة ضوضاء المستقبل DRS،  $T = 703$  K (كثافة ضوضاء قدرها 13,140 dB(W/MHz)؛
- معدلات بيانات عودة: 1 Mbit/s في عرض نطاق قدره MHz 225؛
- معدلات بيانات عودة: 1 Mbit/s في عرض نطاق قدره MHz 650؛
- التردد المركزي للاستقبال قابل للتوليف بمقدار 25 MHz (أو أقل) لكل درجة.

الترددات المركزية للسوائل DRS متقدمة وفقاً لتوصيات المجموعة المعنية بقابلية التشغيل البيني للشبكات الفضائية (SNIP) المتعلقة بالقنوات المشتركة للعودة في السواتل DRS ستستخدم الترددات المركزية عند الترددات التالية: GHz 25,60 أو GHz 25,85 أو GHz 26,10 أو GHz 26,35 أو GHz 26,60 أو GHz 26,85 أو GHz 27,10 أو GHz 27,35.

ولم تدرس تقنيات تخفيف التداخل أو تنفذ على الجيل التالي من السواتل DRS في النطاق 26 GHz.

### 3 تقدیر التداخل

#### 1.3 معايير حماية السواتل DRS

توصي التوصية ITU-R SA.1155 "معايير الحماية المتصلة بتشغيل سواتل ترحيل البيانات" بألا يتجاوز أقصى مستوى للكثافة الطيفية لقوة التداخل التراكمي في جميع المصادر بما لا يزيد عن 0,1% من الوقت مقدار  $178 \text{ dB(W/kHz)}$  في النطاق  $27,5\text{-}25,25 \text{ GHz}$  (مما يعادل  $148 \text{ dB(W/MHz)}$ ). ويستند هذا المستوى إلى القيمة  $I/N = 10 \text{ dB}$  وانحطاط قدره  $0,4 \text{ dB}$  لمامش الوصلة. ويوصى بعرض نطاق مرجعي أقصى قدره  $1 \text{ kHz}$ . ويتيح معيار الحماية كثافة قصوى للقدرة e.i.r.p. المسببة للتداخل قدرها  $13,5 \text{ dB(W/MHz)}$  يشعلها النظام الثابت باتجاه الساتل DRS بوجود ظاهرة اقتران حزم رئيسية، على النحو المبين في الجدول 1.

الجدول 1

#### أقصى كثافة للقدرة e.i.r.p. باتجاه الساتل DRS عند اقتران الحزم الرئيسية

13,5	كثافة القدرة e.i.r.p. للخدمة الثابتة (dB(W/MHz))
3	خسارة الجوية (dB)
3	خسارة الاستقطاب (dB)
213,5	خسارة الفضاء الحر (dB)
58	كسب هوائي استقبال ذروة الساتل DRS (dBi)
148-	أقصى كثافة للتداخل (dB(W/MHz))

#### 2.3 تداخل الحزمة الرئيسية

تشتمل معايير الحزمة الرئيسية على ما يلي:

- حد كثافة القدرة e.i.r.p. للخدمة الثابتة المسموح به الذي يستوفي معايير حماية الساتل DRS للتوصية ITU-R SA.1155
- احتمال ظهور تداخل للحزمة الرئيسية. ويحسب حد كثافة القدرة e.i.r.p. للخدمة الثابتة المسموح به مع افتراض تداخل القناة المشتركة في مدار للساتل DRS بدون انثناء. ويستند تقدیر احتمال تداخل الحزمة الرئيسية إلى ظروف التشغيل للنظامين.

تراعى حالة إشعاع المدخل الراديوى باتجاه ساتل DRS والاقتران في حزمة رئيسية لهوائي الساتل DRS مرتفع الكسب بالنسبة إلى مدى من سويات كثافة القدرة e.i.r.p. وترتدى النتائج في الجدول 2. يوضح الجدول أن كثافة طيف القدرة e.i.r.p. تزيد بمقدار  $13,5 \text{ dB(W/MHz)}$  مع افتراض خسارة قدرها  $3 \text{ dB}$  بسبب الامتصاص الجوى وخسارة استقطاب  $3 \text{ dB}$  مما يؤدى إلى سوية تداخل تزيد عن القيمة المحددة في التوصية ITU-R SA.1155 حيث يوجد تراصف مباشر.

## الجدول 2

## تجاوز معيار التداخل بدلالة كثافة القدرة e.i.r.p. التي يشعها النظام الساتل باتجاه الساتل DRS

33	24	13,5	كثافة القدرة e.i.r.p. للخدمة الثابتة (dB(W/MHz))
58	58	58	كسب هوائي Rx للمركبة الفضائية للساتل DRS (dBi)
213,5	213,5	213,5	خسارة الفضاء الحر (dB)
3	3	3	الخسارة الجوية (dB)
3	3	3	خسارة الاستقطاب (dB)
128,5-	137,5-	148-	قدرة التداخل I ((W/MHz) dB)
148-	148-	148-	أقصى معايير للتداخل (dB(W/MHz))
19,5	10,5	0	تجاوز معيار الحماية بمقدار (dB)

يلاحظ أن الخسارة الجوية قد تكون أقل من 3 dB في بعض ظروف المناخ بالنسبة إلى زوايا ارتفاع أكبر.

أجريت عمليات محاكاة لنقدير التداخل كسبة مئوية من الزمن عندما يتبع الساتل DRS ساتل مدار أرضي منخفض (LEO). ويلزم من أجل تمثيل التداخل في نسبة مئوية من الوقت محاكاة الطيران المداري لسساتل المدار LEO. وقد استعمل عدد من زوايا الميل لسوائل المدار LEO. وضبط خط طول المحطة الأرضية في كل حالة بحيث يكون الساتل DRS أمام الحزمة الرئيسية لهوائي المحطة الأرضية، الذي يسدد في المستوى الأفقي.

أجريت ثلاث عمليات محاكاة مختلفة. أجري كل منها لمدة 100 يوم بتزايد زمني قدره 0,1 دقيقة، وقدرت سوية التداخل المستقبل بالنسبة إلى السوية المستقبلة لاقتران نقطة التسديد عند استقبال الساتل DRS في كل زيادة. وأجريت المعايير لثلاث حالات مع النتائج الواردة في الشكل 1 وهي:

الحالة 1: ساتل مستعمل في مدار منخفض، يبلغ ارتفاع المدار 300 km وزاوية الميل 85° وعرض محطة الخدمة الثابتة 50°;

الحالة 2: ساتل مستعمل في مدار منخفض، يبلغ ارتفاع المدار 300 km وزاوية الميل 65° وعرض محطة الخدمة الثابتة 60°;

الحالة 3: ساتل مستعمل في مدار منخفض، يبلغ ارتفاع المدار 300 km وزاوية الميل 28,5° وعرض محطة الخدمة الثابتة 28,5°.

يمكن استعمال المنحنيات الواردة في الشكل 1 لتحديد كثافة طيف القدرة e.i.r.p. الناتجة في ظروف الانتشار في الفضاء الحر التي ستتضمن عدم تجاوز قدرة التداخل التي يستقبلها الساتل DRS القيمة 148 dB(W/MHz) لتناسب تتبع 0,1% من الزمن. وتلخص الحسابات في الجدول 3. يوضح الجدول أن كثافة طيف القدرة e.i.r.p. الالازمة لاستيفاء المعايير ترتبط بعلمات المدار لسساتل المدار LEO الذي يتبعه الساتل DRS وموقع محطة إرسال الخدمة الثابتة. وتتراوح السوية المقبولة لكتافة طيف القدرة e.i.r.p. من 31,5 dB(W/MHz) للحالة 1 إلى 17,5 dB(W/MHz) للحالة 3. وتقبل قيمة واحدة قدرها 24 dB(W/MHz) لأخلاص هذه التوصية. ويمكن الحصول على كثافة طيف القدرة e.i.r.p. في ظروف الانتشار في الفضاء الحر.

وتحدد عدة ظروف للتشغيل من احتمال تداخل تسببه الخدمة الثابتة في الساتل DRS ومن آثار هذا التداخل على النحو التالي:

- توزيع سويات كثافة القدرة e.i.r.p. للخدمة الثابتة (انظر الفقرة 1.2) التي تشير إلى أن نسبة أقل من 30% من أنظمة المحطات الثابتة تعمل فوق الحد +24 dB(W/MHz);

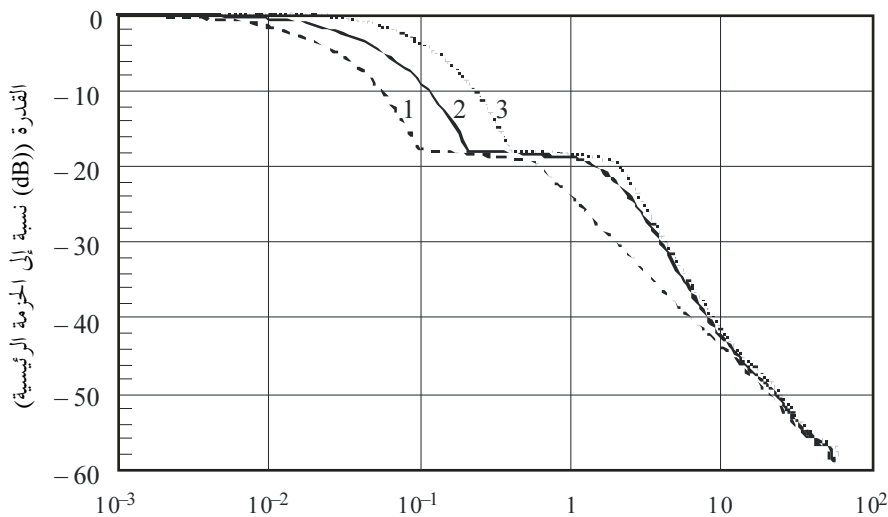
- استعمال نطاق التردد المختلف لأنظمة الخدمة الثابتة والسساتل DRS (انظر الجدول 5) مما يدل على أن نسبة 4% فقط لظهور اقتران الحزمة المباشرة يطرأ في التداخل؛

- تسديد هوائي إرسال الخدمة الثابتة بزاوية سم عشوائية توزع بانتظام بين 0° و360°، وزاوية ارتفاع عشوائية موزعة بانتظام بين 0° و5° (انظر الفقرة 1.3 والفقرة 3.3 من هذا الملحق) مما يحد من احتمال الاقتران المباشر للحزمة بثلاث درجات اتساع على الأقل.

يكون احتمال اقتران الحزم المباشر أدنى من 10<sup>-5</sup>.

الشكل 1

النسبة المئوية من الوقت التي يتم خلالها تجاوز قدرة التداخل النسبية



النسبة المئوية من الوقت التي يتم فيها تجاوز مستوى القدرة النسبية للتداخل (سلم لوغاريتمي)

F.1249-01

الجدول 3

**ملخص حسابات تحديد الكثافة الطيفية للقدرة e.i.r.p المقبولة  
لإرسالات محطة الخدمة الثابتة باتجاه الساتل DRS**

كثافة القدرة e.i.r.p. (dB(W/MHz))	كثافة القدرة e.i.r.p. dB(W/MHz) 148 = I	القدرة نسبية إلى الحزمة الرئيسية عند مستوى النسبة المئوية 0,1 (انظر الشكل 1) (dB)	الحالة
31,5	13,5	18-	1
22,5	13,5	9-	2
17,5	13,5	4-	3

### 3.3 التداخل التراكمي

استنتجت أقصى كثافة للقدرة e.i.r.p من أقصى قيمة في كل مدى لتوزيع كثافة قدرة مرسل المدخل الراديوى للخدمة الثابتة الوارد في الفقرة 1.2 من هذا الملحق. ويعطى المتوسط المقاس لأسوأ حالة من التوزيع مستوى كثافة القدرة dB(W/MHz) 36,2 e.i.r.p. كما يرد في الجدول 4.

الجدول 4

**التوزيع المقدر لسويات كثافة القدرة e.i.r.p. لإرسال الخدمة الثابتة**

W/MHz 398	dB(W/MHz) 26	%50
W/MHz 1 995	dB(W/MHz) 33	%40
W/MHz 31 623	dB(W/MHz) 45	%10
dB(W/MHz) 36,19		المتوسط المقاس

وастُنتاج عدد تداخلات القناة المشتركة من نموذج الانتشار الوارد في الفقرة 1.2 من هذا الملحق. وقدر تواجد 100 000 من مرسالات الخدمة الثابتة في النطاق 27,5-25,25 GHz على الصعيد العالمي. ويفترض وفقاً "للحطة الألمانية" الواردة في التوصية ITU-R F.748 ما يلي:

- 50 000 من المرسالات في نصف النطاق السفلي (GHz 26,06-25,56);
- 50 000 من المرسالات في نصف النطاق العلوي (GHz 27,18-26,68).

ويرد توزيع القنوات المستعمل في عمليات محاكاة مونت كارلو في الجدول 5 وذلك فيما يخص جزء نطاق 500 MHz في الخطة الألمانية. ويمكن أن تواجد في أي نطاق عرضه 1 MHz مرسالات للقناة المشتركة عددها 2 001 من مجموع المرسالات وعددها 100 000 في العالم.

## الجدول 5

### التوزيع المفترض لعرض نطاق القنوات التي تستخدمها محطات الخدمة الثابتة من نقطة-إلى-نقطة

رقم القناة المشتركة	الرقم من بين 50 000	الاستعمال المقدر (%)	عرض نطاق القناة (MHz)
625	2 500	5	112
312	2 500	5	56
312	5 000	10	28
428	15 000	30	14
210	15 000	30	7
106	7 500	15	3,5
8	2 500	5	1,75
2 001	المجموع		

يحدد التوزيع الفضائي للتداخل استناداً إلى عملية محاكاة مونت كارلو بافتراض انتشار 2 000 من مرسالات المدخل الراديوي حول أهم مدن العالم. وكانت المرسالات مشتركة القناة بمتوسط كثافة القدرة 36 dB(W/MHz) e.i.r.p، وهوائيات الخدمة الثابتة مسددة إلى زاوية سمت عشوائية منتظمة التوزيع بين 0° و360°. ويمثل الشكلان 2 و3 كثافة التداخل التراكمي كما يستقبلها الساتل DRS الواقع عند 41° غرباً و174° غرباً على التوالي بالنسبة إلى زاوية تسديد هوائي المركبة الفضائية (التمايل والتلوج).

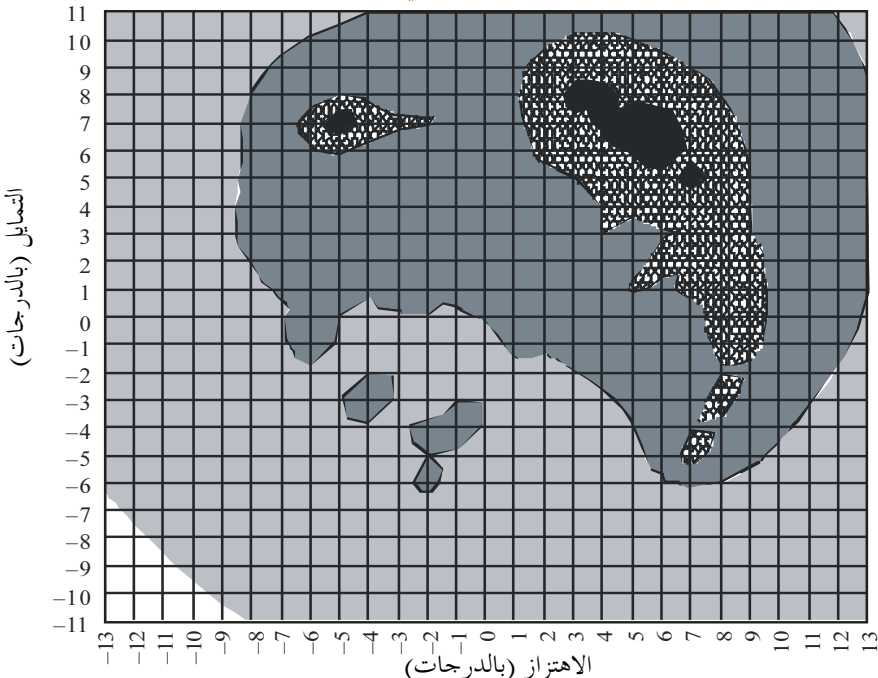
ويبلغ أقصى تداخل تراكمي -148 dB(W/MHz) عندما يكون الساتل DRS عند 41° غرباً (انظر الشكل 2)، وتستوفي معايير الحماية باستثناء حالة اقتران الحزمة الرئيسية حيث يمكن أن تؤدي إحدى مرسالات الخدمة الثابتة للقناة المشتركة إلى تداخل يتجاوز المعيار.

يوضح الشكل 3 أن أقصى سوية للتداخل المجمع -149,5 dB(W/MHz) عندما يكون الساتل DRS عند 174° غرباً أو 1,5 dB أدنى من المعيار. ويستوفي معيار حماية الساتل DRS باستثناء حالات اقتران الحزم الرئيسية.

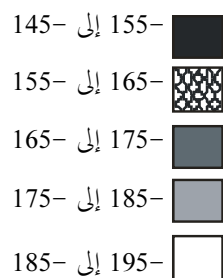
يوضح الشكلان 2 و3 أن التداخل التراكمي من الانتشار العشوائي لأنظمة المدخل الراديوي على النحو المفترض في عمليات محاكاة مونت كارلو لا يبدو أنه يسبب تداخل يتجاوز المعايير الواردة في التوصية ITU-R SA.1155، وخلاصه هذه العمليات أن التداخل التراكمي الناتج عن السواتل DRS من بث المحطات عشوائية الانتشار للمدخل الراديوي من نقطة-إلى-نقطة لن يتعدي -148 dB(W/MHz) وأن الاقتران من حزمة رئيسية إلى حزمة رئيسية، كما يرد في الفقرة 2.3، سيؤدي إلى التداخل الذي يتجاوز المعايير الواردة في التوصية ITU-R SA.1155.

الشكل 2

التدخل التراكمي (dB(W/MHz)) في سائل DRS يقع عند  $41^{\circ}$  غرباً،  
بالنسبة إلى زوايا تسديد هوائي المركبة الفضائية



ذروة التداخل التراكمي =  $dB (W/MHz) 148-$   
المعيار:  $-148 dB (W/MHz)$



F.1249-02

## تقنيات تخفيف التداخل

4

### أنظمة الخدمة الثابتة

1.4

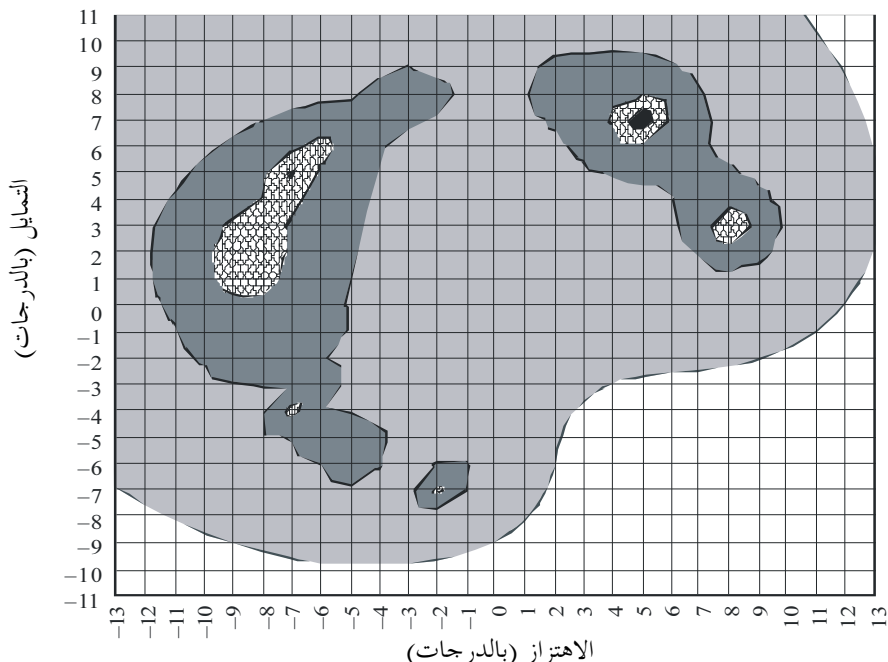
يشتمل تخفيف التداخل على ممارسات تصميم النظام الأساسي للصوت، بالإضافة إلى استعمال التقنيات المطورة للأغراض المحددة لتخفيض التداخل الذي يتضمن:

- التشغيل بأدنى كثافة لازمة للقدرة .e.i.r.p، وذلك لأغراض اقتصادية وتشغيلية، مثل تكلفة التجهيزات وصيانةها الأدنى وتجهيزات أخف وأصغر والاستهلاك الأدنى للقدرة الأولية لأن الترددات الأقصر تعيد استعمال المسافات؛
- تصميم النظام الذي يأخذ أثر التوهين الجوي في الاعتبار؛

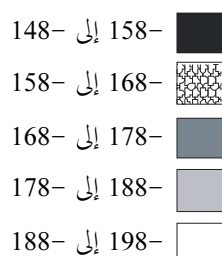
- انتقاء الموقع وتشكيله الذي يحد من الإشعاع بدرجة كبيرة بعد مدى الخدمة الثابتة الكبير سواء بواسطة السد الطبيعي أو من صنع الإنسان، أو بواسطة السد الجزئي لمنطقة فريندل الذي يؤدي إلى توهين الانعراج (انظر الملحق 3)؛
- التحكم في قدرة المرسل الأوتوماتي.

الشكل 3

**التدخل التراكمي (dB(W/MHz))** في ساتل DRS يقع عند  $174^{\circ}$  غرباً،  
بالنسبة إلى زوايا تسديد هوائي المركبة الفضائية



ذروة التداخل التراكمي =  $dB (W/MHz) 149,5 -$   
المعيار:  $dB (W/MHz) 148 -$



F.1249-03

## 2.4 أنظمة الساتل DRS

قد تتيح تقنيات تخفيف التداخل التي تستعمل في أنظمة الساتل DRS خفة حركة التردد أو إطناها، وإحداث تداخل التفرع والإلغاء التكيفي للتداخل. وقد بدأ قطاع الاتصالات الراديوية دراسة لتقنيات تخفيف التداخل.

### 3.4 إطار التقاسم التعاوني

يقدم التوأجد المخطط له للخدمة الثابتة وخدمة السائل DRS مجموعة جديدة من مشاكل تقاسم التردد التي تتطلب طريقة جديدة. وأهم طريقة هي إنشاء إطار تعاوني عند سوية التشغيل التي تسهل التفاهم المتبادل لشروط الخدمة وظروف التشغيل؛ تطور ممارسات التقاسم المناسبة؛ تحسن تنفيذ الإجراءات المضادة للتداخل في الخدمتين.

### 5 الاستنتاجات

يفترض إشعاع متوسط كثافة القدرة e.i.r.p. للخدمة الثابتة قدره 36 dB(W/MHz) عند زوايا ارتفاع منخفضة وزوايا سمت عشوائية؛ ويبدو أن استعمال محطات الخدمة الثابتة والسائل DRS لكسب مرتفع وحزم ضيقة للهوائي وخطط توزيع قنوات تردد الخدمة الثابتة يمكن من استيفاء معايير حماية السائل DRS للتوصية ITU-R SA.1155 باستثناء حالات اقتران الحزمة الرئيسية أو الاقتران بجوار الحزمة الرئيسية. ويلزم حد قدره 24 dB(W/MHz) على البث من محطات الخدمة الثابتة إلى الواقع المدارية للسوائل DRS لاستيفاء معايير الحماية للتوصية ITU-R SA.1155. وتنطبق هذه القيمة على ظروف الانتشار في الفضاء الحر.

يفيد إنشاء إطار التقاسم التعاوني في التنفيذ العملي لهذه التوصية.

## الملحق 2

### طريقة حساب زوايا الفصل بين حزم هوائي إرسال الخدمة الثابتة والاتجاهات نحو سوائل ترحيل بيانات مستقرة بالنسبة إلى الأرض

### 1 مقدمة

يقدم هذا الملحق طريقة لحساب زوايا الفصل بين حزم هوائي إرسال الخدمة الثابتة والاتجاهات نحو سوائل ترحيل بيانات مستقرة بالنسبة إلى الأرض تقع في موقع محددة في البند 2 من توصي من النص الأساسي لهذه التوصية، مع مراعاة آثار الانكسار الجوي والأفق المحلي.

### 2 معلمات محطة الخدمة الثابتة

تتحدد معلمات محطة الخدمة الثابتة على النحو التالي:

- ١: خط عرض المحطة (قيمة مطلقة)؛
- ٢: زاوية سمت حزمة الهوائي باتجاه عقارب الساعة من الشمال؛
- ٣: زاوية ارتفاع حزمة الهوائي؛
- ٤: ارتفاع الهوائي فوق سطح البحر (km)؛
- ٥: اختلاف خط الطول (قيمة مطلقة) بين المحطة وأحد السوائل المحددة في البند 2 من توصي.

إذا كانت قيمة  $\delta$  أكبر من  $90^\circ$  (بشكل أدق إذا كانت القيمة  $\cos \delta < 0$ ) لا يكون الساتل مرئياً من محطة الخدمة الثابتة، لذا ليس من الضروري الاستمرار في الحساب. (حتى عندما تكون قيمة  $\delta$  أقل بقليل من  $90^\circ$ ، قد لا يكون الساتل مرئياً ولكنه سيحدد فيما بعد).

### 3 تحديد زاوية سمت الساتل

يستخدم نموذج إهليجي ويتميز شكل الأرض بالقيمة  $R = 6378,14 \text{ km}$  (نصف القطر المداري للأرض) و  $f = 1/298,25$  (عامل سمك الأرض). يرد عندئذ نصف قطر الأرض القطبي بالمعادلة  $R = f(1 - f)$ .

يوضح عندئذ الطول المركزي للأرض  $R_1$  ونصف القطر الفعال للأرض  $R_1$  عند خط الطول الجغرافي  $\zeta$  وارتفاع الهوائي  $h$  بالمعادلة:

$$(1) \quad \zeta_1 = \arctan [(1 - f)^2 \tan \zeta]$$

$$(2) \quad R_1 = R(1 - f \sin^2 \zeta_1) + h$$

تحسب بعد ذلك قيمة  $\Psi$  (قوس الدائرة الكبير بين محطة الخدمة الثابتة ونقطة تحت الساتل) كما يلي:

$$(3) \quad \Psi = \arccos (\cos \zeta_1 \cos \delta)$$

ثم تحسب زاوية سمت  $(\alpha_s)$  الساتل كما يرى من محطة الخدمة الثابتة كما يلي:

$$(4) \quad \alpha'_s = \arccos (\tan \zeta_1 \cot \Psi)$$

بالنسبة إلى محطة خدمة ثابتة تقع في نصف الكرة الأرضية الشمالي  $\alpha'_s = \alpha_s + 180^\circ$

(5a) وتقع السواتل غرب محطة الخدمة الثابتة

بالنسبة إلى محطة خدمة ثابتة تقع في نصف الكرة الأرضية الشمالي  $\alpha'_s = \alpha_s - 180^\circ$

(5b) وتقع السواتل شرق محطة الخدمة الثابتة

بالنسبة إلى محطة خدمة ثابتة تقع في نصف الكرة الأرضية الجنوبي  $\alpha'_s = \alpha_s - 360^\circ$

(5c) وتقع السواتل غرب محطة الخدمة الثابتة

بالنسبة إلى محطة خدمة ثابتة تقع في نصف الكرة الأرضية الجنوبي  $\alpha'_s = \alpha_s$

(5d) وتقع السواتل شرق محطة الخدمة الثابتة

### 4 تحديد زاوية ارتفاع الساتل

يحسب ارتفاع  $(\epsilon'_s)$  الساتل كما يظهر من محطة الخدمة الثابتة كما يلي مع افتراض عدم وجود أثر لانكسار الجوي:

$$(6) \quad \epsilon'_s = \arctan \left( \frac{K \cos \Psi - 1}{K \sin \Psi} \right)$$

حيث:

$$K = R_s R_1$$

$$\text{km } 42\,164 = R_s \quad (\text{نصف قطر المدار}).$$

وتعرف زاويتا الارتفاع التاليتان للاحظة آثار الانكسار الجوي والأفق المحلي:

$\epsilon_m1$ : زاوية الارتفاع باتجاه الأفق المحلي بأقصى انحاء جوي، كما يظهر من ارتفاع هوائي الخدمة الثابتة عند سمت الساتل  $(\alpha_s)$  (انظر الملاحظة 1);

$\epsilon_m2$ : زاوية الارتفاع باتجاه الأفق المحلي بأدنى انحاء جوي، كما يظهر من ارتفاع هوائي الخدمة الثابتة عند سمت الساتل  $(\alpha_s)$  (انظر الملاحظة 1).

- ثم تحدد رؤية الساتل كما يلي:
- تحسب القيمة  $\epsilon_1 = \epsilon_{m1} - \tau_{max}(\epsilon_{m1}, h)$  و  $\epsilon_2 = \epsilon_{m2} - \tau_{min}(\epsilon_{m2}, h)$ ، حيث  $\tau_{max}(\epsilon, h)$  و  $\tau_{min}(\epsilon, h)$  هما أقصى وأدنى قيمة زاوية الانحناء الجوي بالنسبة إلى زاوية الارتفاع  $\psi$ ، على التوالي، وترد القيمة الرقمية في الملاحظة 2:
  - إذا كانت القيمة  $\epsilon_2 \leq \epsilon_1$  يكون الساتل مرئياً دائماً؛
  - إذا كانت القيمة  $\epsilon_2 < \epsilon_1$  يكون الساتل مرئياً نسبياً من الزمن؛
  - إذا كانت القيمة  $\epsilon_1 > \epsilon_2$  لا يكون الساتل مرئياً في أي ظروف لانحناء الجوي، لذا لا توجد حاجة إلى حسابات أخرى.

عندما تكون القيمة  $\epsilon_1 \leq \epsilon_2$ ، يمكن حساب زاويتي الارتفاع  $\epsilon_{s\ max}$  و  $\epsilon_{s\ min}$  للساتل لأقصى وأدنى قيمة لانحناء الجوي على التوالي بواسطة المعادلات التالية (انظر الملاحظة 3):

$$(7a) \quad \epsilon_{s\ max} - \tau_{max}(\epsilon_{s\ max}, h) = \epsilon'_s$$

$$(7b) \quad \epsilon_{s\ min} - \tau_{min}(\epsilon_{s\ min}, h) = \epsilon'_s$$

عندما تكون القيمة  $\epsilon_2 < \epsilon_1$ ، ليس من الضروري حل المعادلة (7a) والمعادلة (7b). ويجب عندئذ أن تستعمل القيمة  $\epsilon_{s\ min} = \epsilon_{m2}$ .

تحدد زاوية الارتفاع  $\epsilon_s$ ، التي توفر أدنى زاوية فصل بما يكفي من الدقة كما يلي:

$$(8a) \quad \epsilon_s = \epsilon_{s\ max} \quad \text{for } \epsilon_{s\ max} \leq \epsilon_r$$

$$(8b) \quad \epsilon_s = \epsilon_r \quad \text{for } \epsilon_{s\ min} \leq \epsilon_r < \epsilon_{s\ max}$$

$$(8c) \quad \epsilon_s = \epsilon_{s\ min} \quad \text{for } \epsilon_r < \epsilon_{s\ min}$$

## 5 تحديد زاوية الفصل

يمكن حساب أدنى زاوية فصل، SA، بين حزمة هوائي الخدمة الثابتة واتجاه ساتل ترحيل المعطيات المستقر بالنسبة إلى الأرض، كما يظهر من محطة الخدمة الثابتة كما يلي:

$$(9) \quad SA = \arccos [\cos \epsilon_r \cos \epsilon_s \cos(\alpha_r - \alpha_s) + \sin \epsilon_r \sin \epsilon_s]$$

يجب أن تحسب زاوية الفصل لكل من سواتل ترحيل المعطيات المستقرة بالنسبة إلى الأرض وفقاً لما ورد في البند 2 من توصي.

الملاحظة 1 - إذا كان الأفق المحلي يتكون من أرض ممدة أو سطح البحر تحسب القيمة  $\epsilon_m$  من المعادلة التالية:

$$(10) \quad \epsilon_m = -\arccos \left[ \frac{R + h_l}{R + h} \times \frac{1 + N_0 \times 10^{-6}(1 + \Delta N/N_0)^{h_l}}{1 + N_0 \times 10^{-6}(1 + \Delta N/N_0)^h} \right]$$

حيث:

$h$ : ارتفاع الهوائي (km) للمحطة فوق سطح البحر؛

$h_l$ : الارتفاع (km) للأفق المحلي ( $h \geq h_l$ )؛

$R$ : نصف قطر الأرض الذي يفترض أن يكون 6 370 km.

القيمة  $\epsilon_{m1}$  وفقاً للتوصية ITU-R SF.765 هي زاوية ارتفاع تطابق أقصى انحناء جوي ( $N_0 = 400$  و  $\Delta N = -68$ )، والقيمة  $\epsilon_{m2}$  هي زاوية الارتفاع التي تطابق أدنى انحناء جوي ( $N_0 = 250$  و  $\Delta N = -30$ )، ويجر بالذكر أن القيمة  $\epsilon_{m1} \geq \epsilon_{m2}$ .

قد يصعب أحياناً التقدير الدقيق للقيمتين  $\epsilon_{m1}$  و  $\epsilon_{m2}$  لتعقيد مستوى الأفق المحلي. وقد يكون من الأسهل عندئذ تقدير القيمتين  $\epsilon_{m1}$  و  $\epsilon_{m2}$  بواسطة المعادلة (10) بافتراض أن  $h = 0$ , يؤدي ذلك عادة إلى زاوية فصل دقيقة. إلا أن القيمة  $\epsilon_{s \max}$  أكبر من القيمة  $\epsilon_{m1}$  لكنها تقترب من القيمة  $\epsilon_{m1}$ , ويحتمل ألا يكون السائل مرئياً بسبب أثر الأفق المحلي. عندئذ يجري الحساب باستعمال القيمتين  $\epsilon_{m1}$  و  $\epsilon_{m2}$ .

الملاحظة 2 - يمكن حساب الانحناء الجوي (بالدرجات) بواسطة المعادلة التالية، وفقاً للملحق 2 للتوصية ITU-R SF.765

$$(11a) \quad \tau_{\max}(\epsilon, h) = 1 / [0.7885809 + 0.175963 h + 0.0251620 h^2 + \epsilon (0.549056 + 0.0744484 h + 0.0101650 h^2) + \epsilon^2 (0.0187029 + 0.0143814 h)]$$

$$(11b) \quad \tau_{\min}(\epsilon, h) = 1 / [1.755698 + 0.313461 h + \epsilon (0.815022 + 0.109154 h) + \epsilon^2 (0.0295668 + 0.0185682 h)]$$

حيث:

$\epsilon$ : زاوية الارتفاع (بالدرجات)؛

$h$ : ارتفاع هوائي (km) المخطة فوق سطح البحر.

تسري المعادلات الواردة أعلاه للمدى  $\epsilon \geq \epsilon_{m2}$  أو المدى  $\epsilon \geq \epsilon_{m1}$ . وتضمن الخوارزمية في هذا الملحق ألا تطبق المعادلات إلا عندما تكون سارية.

الملاحظة 3 - يلزم الحذر تجاه التقارب لحل المعادلة (7a)، خاصة عندما تكون قيمة  $h$  كبيرة والقيمة  $\epsilon$  سلبية. لهذا فإنحدى الطرائق لحل المعادلة (7a) هي تطبيق طريقة نيوتن-رافسن مع القيمة  $\max(\epsilon_s, \epsilon_{m1}) = \epsilon_{s \max}$  كقيمة أولية. وتصل إلى التقارب بعد عدة تكرارات.

ويمكن تطبيق نهج مماثل لحل المعادلة (7b). وتكون القيمة الأولية في هذه الحالة  $\epsilon_{s \min} = \max(\epsilon_s, \epsilon_{m2})$ .

الملاحظة 4 - يرد برنامج حاسوب لحساب زوايا الفصل على أساس هذا الملحق في التذييل 1.

## التذييل 1

### للملحق 2

```
*****
/* file name : drsang_b.c */
/* language : C */
/* function : Calculate separation angles between fixed service */
/* transmitting antenna beams and the directions */
/* towards geostationary data relay satellites */
*****
```

```
/*----- include files -----*/
#include <stdio.h>
#include <math.h>
#include <errno.h>

static double pi,rd,dr,em1,em2,a[3],b[3];

/*----- module : bending */
/* function : setup atmospheric bending characteristics */
/* in h0 : antenna altitude (km) of the station above sea level */
/* h1 : altitude (km) of the local horizon (h0>=h1) */
/* out em1,2 : elevation angles towards the local horizon at maximum */
/* and minimum atmospheric bending (see eq.(8)) */
*/
```

```

/* a,b : coefficients of atmospheric bending */  

/* at maximum and minimum atmospheric bending */  

/*-----*/  

void bending(h0,h1)  

    double h0,h1;  

{  

    double r=6378.0; /* earth radius (km) */  

    em1=-acos((r+h1)/(r+h0)*  

        (1+0.00040*pow(0.83,h1))/(1+0.00040*pow(0.83,h0)));  

    em2=-acos((r+h1)/(r+h0)*  

        (1+0.00025*pow(0.88,h1))/(1+0.00025*pow(0.88,h0)));  

    a[0]=(0.7885809+0.1759630*h0+0.0251620*h0*h0)*rd;  

    a[1]=(0.5490560+0.0744484*h0+0.0101650*h0*h0)*rd*rd;  

    a[2]=(0.0187029+0.0143814*h0)*rd*rd*rd;  

    b[0]=(1.7556980+0.3134610*h0)*rd;  

    b[1]=(0.8150220+0.1091540*h0)*rd*rd;  

    b[2]=(0.0295668+0.0185682*h0)*rd*rd*rd;  

}  

/*-----*/  

/* module : tmax,tmin,dtmax,dtmin */  

/* function : calculate atmospheric bending in degree */  

/* in e : elevation angle (degree) */  

/* out tmax : atmospheric bending (see eq.(11a)) */  

/* dtmax : derivative of tmax */  

/* tmin : atmospheric bending (see eq.(11b)) */  

/* dtmin : derivative of tmin */  

/*-----*/  

double tmax(e)  

    double e;  

    {return (1.0/(a[0]+e*(a[1]+a[2]*e)));}  

double dtmax(e)  

    double e;  

    {return (-(a[1]+2.0*a[2]*e)*pow(tmax(e),2.0));}  

double tmin(e)  

    double e;  

    {return (1.0/(b[0]+e*(b[1]+b[2]*e)));}  

double dtmin(e)  

    double e;  

    {return (-(b[1]+2.0*b[2]*e)*pow(tmin(e),2.0));}  

/*-----*/  

/* module : sangle */  

/* function : calculate separation angle in degrees */  

/* in slon : longitude of the data-relay satellite (radian) */  

/* ilat : northern or southern hemisphere */  

/* rlat : latitude of the radio-relay station (radian) */  

/* rlon : longitude of the radio-relay station (radian) */  

/* az0 : azimuth of the antenna beam (radian) */  


```

```

/* e0 : elevation angle of the antenna beam (radian) */  

/* h0 : antenna altitude (km) of the station above sea level */  

/* out sa : separation angle */  

/*-----*/  

double sangle(slon,ilat,rlat,rlon,az0,e0,h0)  

    double slon,ilat,rlat,rlon,az0,e0,h0;  

{  

    double delta,zeta,r1,arc,tanarc;  

    double azss,azs,ees,e1,e2,es1,esmax,esmin,es,sa;  

    double r=6378.14; /* earth's equatorial radius */  

    double f=1/298.25; /* earth's flatness factor */  

    double rs=42164; /* orbit radius */  

    delta=rlon-slon;  

    if(cos(delta)<=0) {sa=500.0;goto end_sa;}  

    /* ---- Determination of the satellite azimuth -----*/  

    zeta=atan(pow(1-f,2.0)*tan(rlat)); /* eq.(1) */  

    r1=r*(1-f*pow(sin(zeta),2.0))+h0; /* eq.(2) */  

    arc=acos(cos(zeta)*cos(delta)); /* eq.(3) */  

    tanarc=tan(arc); if(tanarc<tan(zeta)) tanarc=tan(zeta);  

    if(tanarc==0.0) azss=0.0;  

    else azss=acos(tan(zeta)/tanarc); /* eq.(4) */  

    if((ilat>0)&&(sin(delta)>=0)) azs=azss+pi; /* eq.(5a) */  

    else if((ilat>0)&&(sin(delta)<0)) azs=pi-azss; /* eq.(5b) */  

    else if(sin(delta)>=0) azs=2*pi-azss; /* eq.(5c) */  

    else azs=azss; /* eq.(5d) */  

    /* ---- Determination of the satellite elevation -----*/  

    if(arc==0.0) ees=pi/2.0;  

    else ees=atan((cos(arc)-r1/rs)/sin(arc)); /* eq.(6) */  

    e1=em1-tmax(em1);  

    e2=em2-tmin(em2);  

    if(ees<e1) {sa=500.0; go to end_sa;}  

else{  

    /* ---- solve eq.(7a), (see Note 3) ---- */  

    es1=10.0;if(ees<em1) esmax=em1; else esmax=ees;  

    while(fabs(esmax-es1)>1.0e-5){  

        es1=esmax;  

        esmax=es1-(es1-tmax(es1)-ees)/(1.0-dtmax(es1));  

    }  

    if(ees<e2) esmin=em2;  

    else{  

        /* ---- solve eq.(7b), (see Note 3) ---- */  

        es2=10.0;if(ees<em2) esmin=em2; else esmin=ees;  

        while(fabs(esmin-es2)>1.0e-5){  

            es2=esmin;  

            esmin=es2-(es2-tmin(es2)-ees)/(1.0-dtmin(es2));  

        }  

        if(esmax<=e0) es=esmax; /* eq.(8a) */  

        else if(esmin<=e0) es=e0; /* eq.(8b) */  

        else es=esmin; /* eq.(8c) */  

        /* ---- Determination of the separation angle ----- eq.(9) */  

    }
}

```

```

sa=rd*acos(cos(e0)*cos(es)*cos(az0-azs)+sin(e0)*sin(es));
end_sa:
return sa;
}
/*-----*/
/* main program */
/*
void main()
{
    double lonsat[32]={-174,-171,-170,-160,-139,-62,-49,
                      -46,-44,-41,-32,-16,-
12,10.6,16.4,16.8,21.5,47,59,77,80,85,89,90.75,95,113,121,133,160,171,176.8,177.5};
    double sa[34];
    char str[1];
    double ilat,latd,latm,lats,rlat;
    double ilon,lond,lonm,lons,rlon;
    double az0d,az0,e0d,e0,h0m,h0,h1m,h1;
    double slon,samin;
    int isat;

    pi=4.0*atan(1.0);                                /* circular constant */
    rd=180.0/pi;                                     /* radian to degree */
    dr=pi/180.0;                                     /* degree to radian */
/* ----- Parameter input ----- */
printf("Parameters of the fixed service station \n");
input_NS:
printf("Hemisphere of the station : northern or southern (N/S) ? \n");
scanf("%s",&str);
if(*str=='N' || *str=='n') ilat=1;
else if(*str=='S' || *str=='s') ilat=-1;
else go to input_NS;
input_LAT:
printf("LAT : latitude (degree,minute,second) ? \n");
scanf("%le,%le,%le",&latd,&latm,&lats);
latd=ilat*(latd+latm/60.0+lats/3600.0); rlat=fabs(latd*dr);
input_EW:
printf("Longitude : east or west (E/W) ? \n");
scanf("%s",&str);
if(*str=='E' || *str=='e') ilon=1.0;
else if(*str=='W' || *str=='w') ilon=-1.0;
else go to input_EW;
input_LON:
printf("LON : longitude (degree,minute,second) ? \n");
scanf("%le,%le,%le",&lond,&lonm,&lons);
lond=ilon*(lond+lonm/60.0+lons/3600.0);rlon=lond*dr;
input_AZ:
printf("AZ0 : antenna azimuth, clockwise from the North (degree) ?\n");
scanf("%le",&az0d); az0=az0d*dr;
input_E0:
printf("E0 : antenna elevation (degree) ? \n");
scanf("%le",&e0d); e0=e0d*dr;

```

```

input_ALT:
printf("H0 : antenna altitude (m) ? \n");
scanf("%le",&h0m); h0=h0m/1 000.0;
printf("H1 : horizon altitude (m) ? \n");
scanf("%le",&h1m); h1=h1m/1 000.0;
if(h1>h0) {printf("h1<=h0"); go to input_ALT;}

/* ----- Calculations ----- */
bending(h0,h1);
samin=1 000.0;
for(isat=0;isat<23;isat++){
    slon=dr*lonsat[isat];
    sa[isat]=sangle(slon,ilat,rlat,rlon,az0,e0,h0);
    if(sa[isat]<samin) samin=sa[isat];
}
/* ----- Print separation angle ----- */
printf("\nParameters of the fixed service station \n");
printf(" latitude : %7.2f (degree) \n",latd);
printf(" longitude : %7.2f (degree) \n",lond);
printf(" antenna azimuth : %7.2f (degree) \n",az0d);
printf(" antenna elevation : %7.2f (degree) \n",e0d);
printf(" antenna altitude : %7.0f (m) \n",h0m);
printf(" horizon altitude : %7.0f (m) \n",h1m);
printf("\nGeostationary data relay satellites \n");
printf(" No. Longitude Separation angle \n");
for(isat=0;isat<23;isat++){
    printf("%5d %7.2f %7.2f \n",
           isat+1,lonsat[isat],sa[isat]);
}
printf("Minimum separation angle = %7.2f (degree) \n",samin);

```

### الملحق 3

## تحفيف التداخل من خلال توهين الانعراج

### مقدمة

1

يساهم سد منطقة فريبنل في بعض الأحيان في خفض كثافة طيف القدرة e.i.r.p. الناتجة عن محطة خدمة ثابتة إلى موقع مدارية للساتل DRS. وتقع الأغلبية العظمى للأنظمة الثابتة الراديوية من نقطة-إلى-نقطة المنتشرة في النطاق 26 GHz في المناطق الحضرية، حيث قد يعيق مبني ما مسار الإرسال بين محطة إرسال الخدمة الثابتة وموقع مدار الساتل DRS. وبحد الملاحظة أنه ليس من الضروري أن تكون هذه الإعاقة هي نفس المبنى المقام عليه هوائي استقبال الخدمة الثابتة.

ويمكن بيان أن ذلك السد حساس بالنسبة إلى التغييرات البسيطة في موقع محطة إرسال الخدمة الثابتة، لأنه يمكن أن يؤدي تغير بسيط في الموقع إلى خفض كبير في احتمال التداخل. كما يمكن بيان أن ذلك السد شديد الحساسية بالنسبة إلى التغييرات البسيطة في موقع الساتل DRS بسبب الاضطرابات العادلة للمدار، لأن التداخل الذي قد يسببه تتبع ظهور الهندسة التي قد تسيء للسوائل منخفضة المدار ومرسل الخدمة الثابتة والسوائل DRS قد مختلف بشكل كبير، بحيث يمكن أن يعقب التداخل الكبير التداخل المقبول.

ويوضح هذا الملحق بواسطة أمثلة مبسطة مدى خسارة الانعراج التي يمكن التوصل إليها مع سد منطقة فريبنل.

### 2 الحسابات الأساسية لتهين الانعراج

تشتمل التوصية P.526 ITU-R على الطائق والمعادلات الأساسية لحساب توهين الانعراج. ويتعامل القسم 4 من التوصية مع توهين الانعراج كدلالة مدى سد منطقة فريبنل وخصائص حاجز السد. وتمثل قيم التوهين الناتجة مجموع مساهمتين:

(أ) توهين الانعراج باستعمال نموذج حد السكين للحاجز؛

(ب) مساهمة إضافية بسبب الخصائص المادية للحاجز المتواجد التي تختلف عن خصائص نموذج حد السكين.

يمكن أن تتعدي النتيجة الكلية مساهمة توهين حد السكين الوحد.

تطرق الفقرة 1.4 من التوصية P.526 ITU-R إلى البند (أ) الوارد أعلاه بشأن نموذج حد السكين الوحد. فتشتمل على معادلات لحساب توهين الانعراج باستعمال معلمة بدون أبعاد تحدد مدى أول سد لمنطقة فريبنل؛ كما يرد في الشكل 4 (نفس الشكل 7 من التوصية P.526 ITU-R) رسم بياني لتوهين الانعراج الناتج بدلاله المعلمة بدون أبعاد. فينتج توهين انعراج قدره 6 dB على سبيل المثال عند سد نصف أول منطقة فريبنل؛ وتبلغ قيم توهين  $\frac{1}{4}$  سد و  $\frac{3}{4}$  سد و سد كامل، 2 dB و 10 dB و 14 dB على التوالي. ويزيد تمديد السد إلى منطقة فريبنل الثانية قيمة توهين الانعراج إلى 22 dB.

وتعالج الفقرات من 2.4 إلى 5.4 من التوصية P.526 ITU-R البند (ب) الوارد أعلاه بشأن المساهمة الإضافية لتهين الانعراج بسبب خصائص الحاجز التي تختلف عن نموذج حد السكين الوحد.

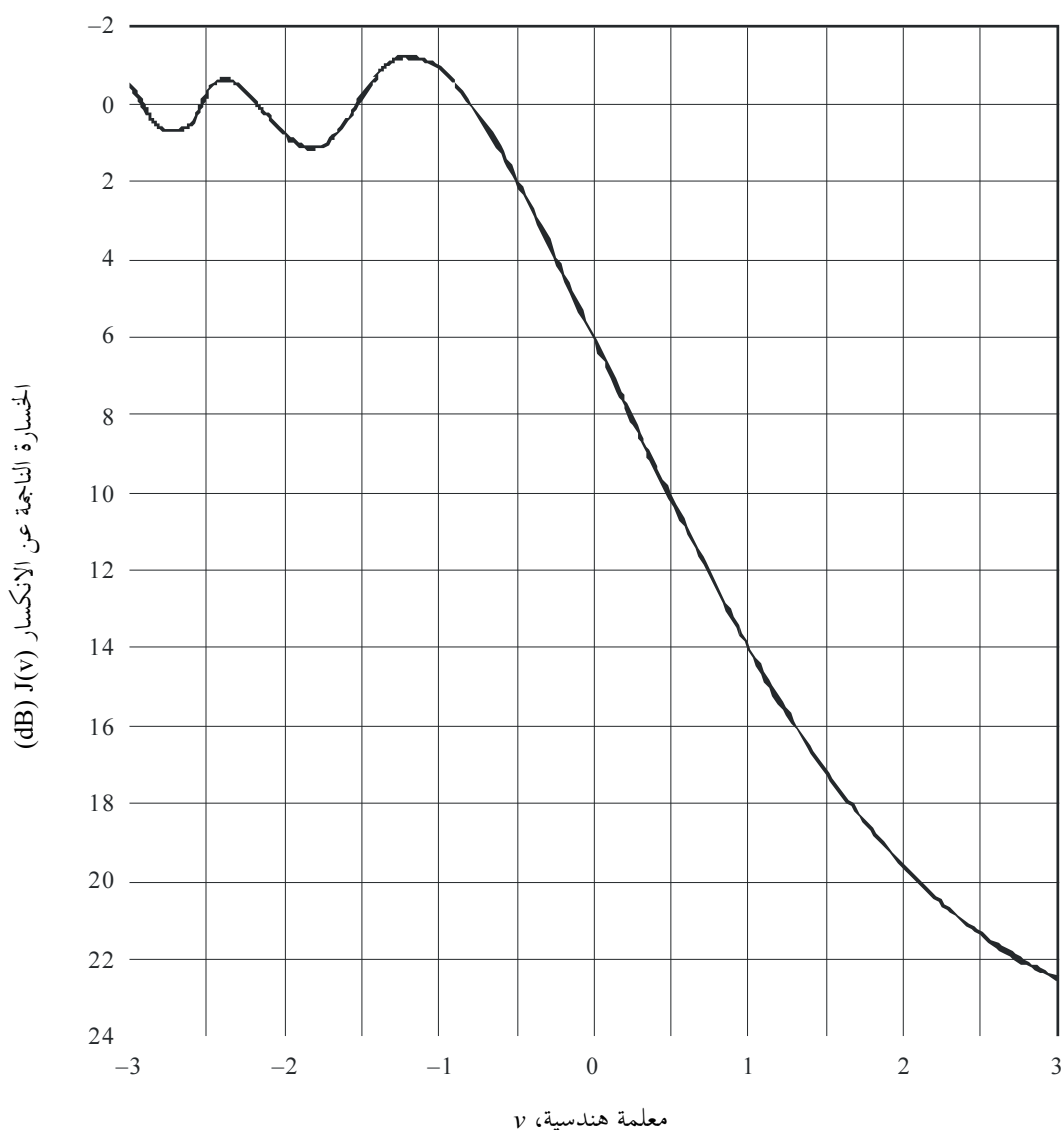
ويناقش القسم 3.4 من التوصية P.526 ITU-R حالة حاجز وحد مستدير. وتنطبق حينما تيسير نمذجة شكل قمة المبنى الذي يسد المسير باتجاه محطة مدار الساتل DRS بهذه الطريقة. ويمكن استعمال الطريقة الواردة لحساب توهين إضافي بسبب شكل وعمق الحاجز.

### 3 أمثلة على التوهين الناتج عن الانعراج

يهدف التحليل المبدئي باستعمال طائق الحساب الواردة في التوصية ITU-R P.526 إلى توضيح أهمية التوهين المتغير للانعراج كعامل يؤدي إلى تخفيف حدود كثافة طيف القدرة e.i.r.p. على البث من محطات الخدمة الثابتة باتجاه الموقع المدارية للساتل DRS.

الشكل 4

خسارة انعراج حد السكين  
(انظر التوصية ITU-R P.526)



F.1249-04

ويفترض أن محطة الخدمة الثابتة هي في الأفق كما يراها الساتل DRS وموجهة إلى الساتل DRS. وإرسالات محطة الخدمة الثابتة إلى الساتل DRS محجوبة جزئياً لوجود عائق في هوائي استقبال محطة الخدمة الثابتة أو بقريبه. وتكون نძجة الحاجز كحد سكين وحيد كما يوضح في الشكل 5. وتقع محطة الإرسال عند  $P_1$  وساتل الاستقبال عند  $P_2$ . وتكون المسافة من محطة الإرسال إلى حاجز الانعراج  $d_1$ . وتكون المسافة إلى الساتل DRS كبيرة جداً بحيث لا يمكن أن تكون معاملًا في حساب

خسارة التوهين. ويشار إلى ارتفاع الحاجز فوق المسير المباشر بالحرف  $h$ . ويشار إلى زاوية الانعراج بالرمز  $\theta$  ولها نفس الحرف  $h$ . (يفترض أن تكون قيمة الزاوية  $\theta$  أدنى من  $0,2 \text{ rad}$  أو  $12^\circ$ ).

وتدرج معلمة بدون أبعاد  $v$ , تتيح حساب المجال الناتج من الشكل 4 وفقاً للعوامل المحددة الواردة أعلاه وطول الموجة  $\lambda$  لتردد التشغيل. ويستنتج ذلك من المعادلة (14) في التوصية ITU-R P.526.

$$(12) \quad v = \theta \sqrt{\frac{2d_1}{\lambda}}$$

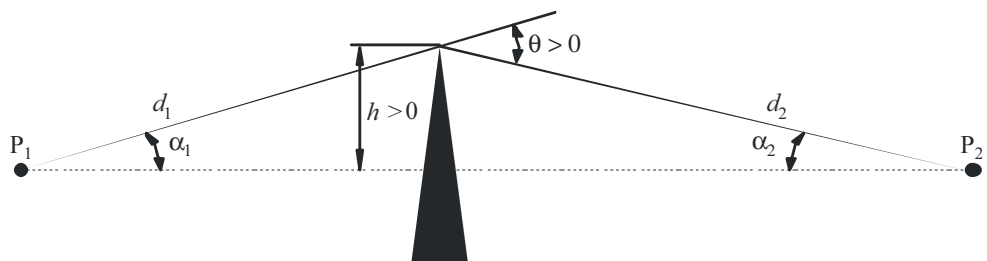
يضع مثال بعض القيود على كمية توهين البث الذي يمكن أن يتوقع من الواقع التي يكون فيها سد منطقة فريند عاماً. يفترض أن الحاجز مبني ببعد مسافة 4 km من هوائي الإرسال. وتقارب قمة المبنى حاجز حد سكين وحيد. ويبلغ كسب هوائي الإرسال 40 dB، وعرض حزمته 3 dB من  $1,64^\circ$  ومسير بدون إعاقة إلى هوائي الاستقبال. ويفترض كذلك أن حزمة هوائي الإرسال تقع بتساوٍ فوق قمة المبنى وأسفله. وتكون قيمة المعادلة (12) بالنسبة إلى تردد تشغيل 26 GHz:

$$(13) \quad v = 833 \text{ } \theta$$

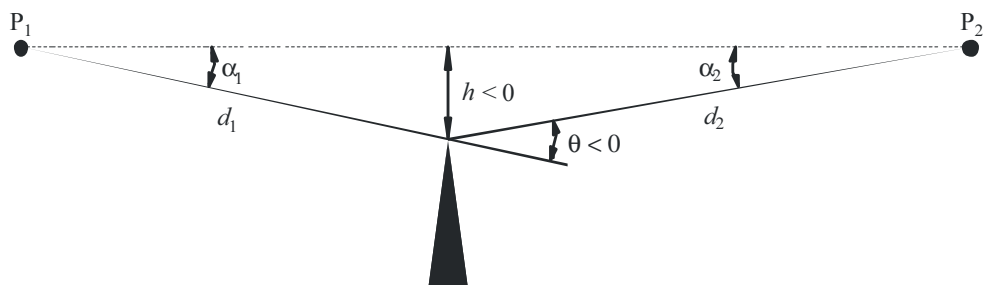
عندما تكون القيمة  $\theta = 0$ , تصبح قيمة  $v$  هي 0 لزاوية خارج المدور قدرها  $0^\circ$ . ويستنتج من الشكل 4 أن ذلك يؤدي إلى خسارة انعراج قدرها 6 dB لهوائي استقبال ساتل DRS يقع أبعد من الحاجز على خط مستقيم يصل بين ثلات نقاط: هوائي الإرسال وقمة الحاجز وهوائي استقبال الساتل DRS.

الشكل 5

العناصر الهندسية  
(ITU-R P.526 التوصية)



(أ)



(ب)

$\alpha_1$  و  $\alpha_2$ : الزاوية بين قمة الحاجز وطرف، كما يظهر من الطرف الآخر

F.1249-05

إلا أنه إذا كانت قمة الحاجز  $0,0017 \text{ rad}$  أو  $0,1^\circ$  فوق الخط من هوائي إرسال الخدمة الثابتة إلى محطة الساتل DRS، مما يطابق أن يكون الحاجز أطول بقدر  $7 \text{ m}$  أو أن يكون هوائي إرسال الخدمة الثابت أقصر بقدر  $7 \text{ m}$ ، عندئذ تكون القيمة  $v = 1,45$ ، وتزداد خسارة الانتعاج إلى  $16,5 \text{ dB}$ .

أما إذا كانت قمة الحاجز أقصر بقدر  $7 \text{ m}$  من مسیر التداخل تكون القيمة  $v = 1,45 -$ ، وتؤدي خسارة الانتعاج لنموذج حد السكين الوحيد إلى تعزيز الإشارة بقدر  $1 \text{ dB}$  تقريباً.

#### 4 تنوع توهين الانتعاج في كشف تداخل الساتل DRS

قيم في هذا المثال تنوع سوية التداخل لساتل DRS في مدار منحني بقدر  $0,1^\circ$  لمحطة خدمة ثابتة تقع عند خط العرض  $45^\circ$  شمالاً. وافتراض أن الساتل DRS كان على خط مستقيم يصل محطة إرسال الخدمة الثابتة وقمة حاجز حد السكين والساطل DRS. وكان الساتل DRS عند موقعه المداري الاسمي، أي أنه كان عند مستوى خط الاستواء. لذلك كانت سوية التداخل الاسمية  $-6 \text{ dB}$  من سوية الفضاء الحر كما ورد أعلاه.

ويعطى خط الطول وخط العرض لنقطة السائل الفرعي DRS خلال فترة 24 ساعة بزاوية ميل مداري منتهية لكن صغيرة في المعادلين التاليتين:

$$(14a) \quad \phi_s = i \sin(\omega_e t)$$

$$(14b) \quad \Delta\lambda_s = \frac{i^2}{4} \sin(2\omega_e t)$$

حيث:

خط عرض نقطة السائل الفرعي DRS :  $\phi_s$

تغير تزايدي في خط طول نقطة السائل الفرعي DRS :  $\Delta\lambda_s$

زاوية ميل المستوى المداري للسائل DRS :  $i$

معدل دوران الأرض :  $\omega_e$

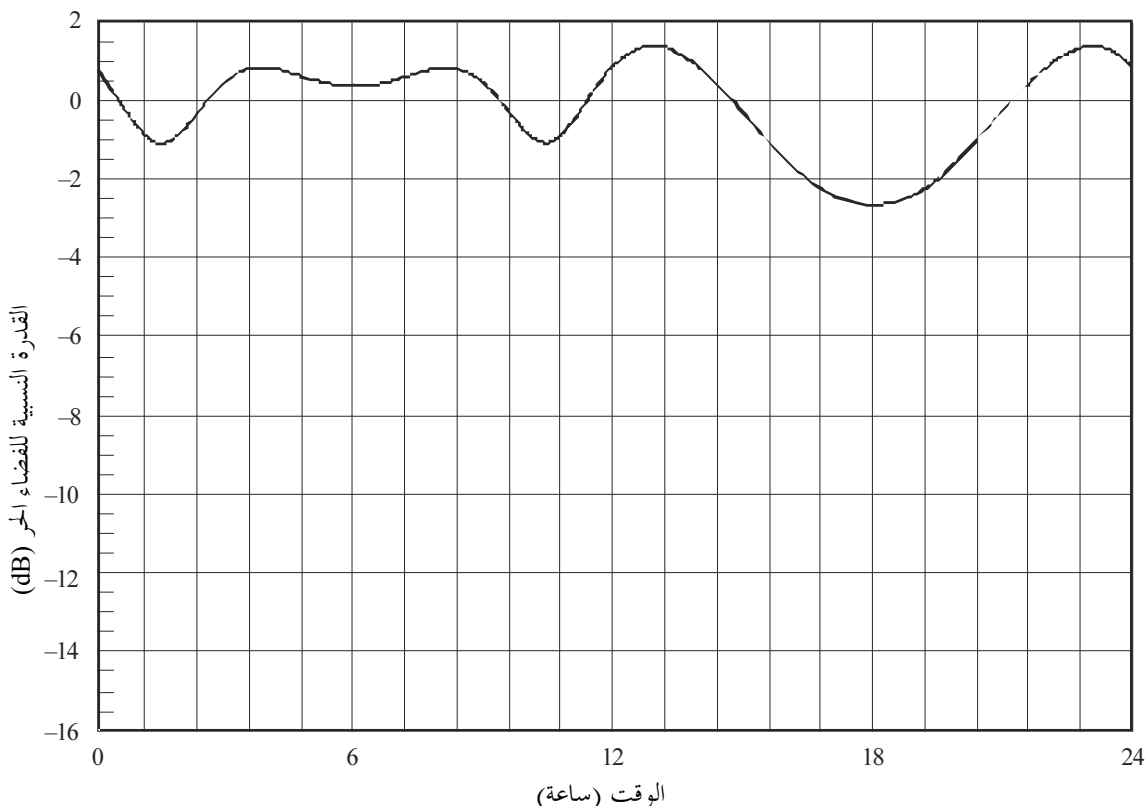
الزمن المنقضي . :  $t$

يمكن تقييم الاختلاف اليومي لقدرة التداخل التي يستقبلها السائل DRS باستعمال المعادلة (13) بالنسبة إلى التغيير في زاوية الارتفاع. ويفترض أن قمة الحاجز توازي المستوى الأفقي المحلي.

درست حالتان لتحديد أثر الانحراف في الموقع الاسمي للسائل DRS. افترض في الحالة الأولى أن الموقع الاسمي للسائل DRS كان فوق الخط الذي يصل بين هوائي إرسال الخدمة الثابتة وحافة المبنى الحاجز بمقدار  $0,1^\circ$ ، وافتراض في الحالة الثانية أن الموقع الاسمي للسائل DRS كان أدنى من الخط الذي يصل بين هوائي إرسال الخدمة الثابتة وحافة المبنى الحاجز بمقدار  $0,1^\circ$ . ويقع هذان الانحرافان داخل نصف عرض الحزمة  $3.164^\circ$ . ويفترض أن محطة الخدمة الثابتة تقع عند خط العرض  $45^\circ$  شمالاً وأن المستوى المداري للسائل DRS منحني  $0,1^\circ$  بالنسبة إلى مستوى خط الاستواء. ويرد الاختلاف اليومي لقدرة التداخل التي يستقبلها السائل DRS بالنسبة إلى قيمة الفضاء الحر في الشكلين 6 و 7 للحالتين. يوضح الشكل 6 اختلافات يومية ضئيلة نسبياً في قدرة التداخل، بينما يوضح الشكل 7 أن الاختلاف اليومي يتراوح بين  $-9,5$  و  $-21$  dB.

الشكل 6

الاختلاف اليومي في قدرة التداخل كما يستقبلها ساتل DRS في مدار منحني  $0,1^{\circ}$ :  
تختلف موقع مدار الساتل DRS بقدر  $0,1^{\circ}$  في مستوى الارتفاع؛  
محطة الخدمة الثابتة التي تقع عند خط العرض  $45^{\circ}$  شماليًّا



F.1249-06

## 5 تصميم وصلة الخدمة الثابتة ومارسات التنفيذ التي تزيد فعالية تخفيف التداخل عبر توهين الانعراج

يوضح البند 4.2 من توصيـة أن الغرض هو تعزيـز تصمـيم وصلـة الخـدمة الثـابتـة وـمارـسـاتـ التـنـفـيـذـ عـنـ الـلـزـومـ لـضـمـانـ أـكـبـرـ سـدـ مـمـكـنـ لـمـسـيرـاتـ التـدـاخـلـ المـحـتمـلـ لـلـسـاتـلـ DRSـ،ـ بـجـيـثـ تـخـفـضـ سـوـيـاتـ إـرـسـالـ الخـدـمـةـ الثـابـتـةـ لـلـتـدـاخـلـ مـنـ خـالـلـ توـهـيـنـ الـانـعـراـجـ.

يتماشى هـدـفـ تقـاسـمـ الخـدـمـةـ بـيـنـ الخـدـمـةـ الثـابـتـةـ وـالـسـاتـلـ DRSـ مـعـ هـدـفـ الخـدـمـةـ الدـاخـلـيـةـ الثـابـتـةـ لـلـتـحـكـمـ فـيـ التـدـاخـلـ،ـ بـغـرـضـ تـقـصـيرـ مـسـافـاتـ إـعادـةـ استـعـمـالـ التـرـددـ فـيـ الـانتـشـارـ الحـضـريـ وـفـيـ الـمـدـنـ الـذـيـ يـكـوـنـ مـسـؤـولـاـ عـنـ الـأـعـلـيـةـ الـعـظـيمـ لـتـطـبـيقـاتـ الخـدـمـةـ الثـابـتـةـ الـحـالـيـةـ وـالـمـسـتـقـبـلـيـةـ فـيـ النـطـاقـ 26 GHzـ.ـ لـذـلـكـ يـفـضـلـ أـنـ تـقـامـ هـوـائـيـاتـ الخـدـمـةـ الثـابـتـةـ عـلـىـ جـوـانـبـ الـمـبـانـيـ وـلـيـسـ فـوـقـهـاـ،ـ وـإـذـاـ لـزـمـ الـأـمـرـ أـنـ تـقـامـ فـوـقـ الـمـبـانـيـ،ـ يـفـضـلـ أـنـ تـكـوـنـ عـلـىـ أـدـنـ حدـ مـمـكـنـ.

تضـمـنـ هـذـهـ مـارـسـاتـ أـكـبـرـ توـهـيـنـ لـلـانـعـراـجـ،ـ لـيـسـ فـيـ مـسـيرـاتـ التـدـاخـلـ دـاخـلـ الخـدـمـةـ الثـابـتـةـ وـحـسـبـ،ـ بلـ وـفـيـ مـسـيرـاتـ التـدـاخـلـ المـحـتمـلـ بـيـنـ الخـدـمـةـ الثـابـتـةـ وـالـسـاتـلـ DRSـ.ـ إـلاـ أـنـهـ يـوـجـدـ مـحـالـ لـلـتـحـسـيـنـ مـنـ خـالـلـ مـاـ يـلـيـ:

- النـشـرـ الـفـعـالـ لـلـمـعـلـومـاتـ ذـاتـ الـصـلـةـ حـوـلـ مشـكـلـةـ التـدـاخـلـ المـحـتمـلـ؛
- الـتـعـلـيـمـاتـ الـبـسيـطـةـ سـهـلـةـ الـاتـبـاعـ لـزـيـادـةـ توـهـيـنـ الـانـعـراـجـ عـلـىـ مـسـيرـاتـ التـدـاخـلـ المـحـتمـلـ حيثـ يـمـكـنـ أـنـ تـتـجاـزوـ إـرـسـالـاتـ الخـدـمـةـ الثـابـتـةـ حـدـ كـثـافـةـ طـيـفـ الـقـدـرةـ e.i.r.pـ.

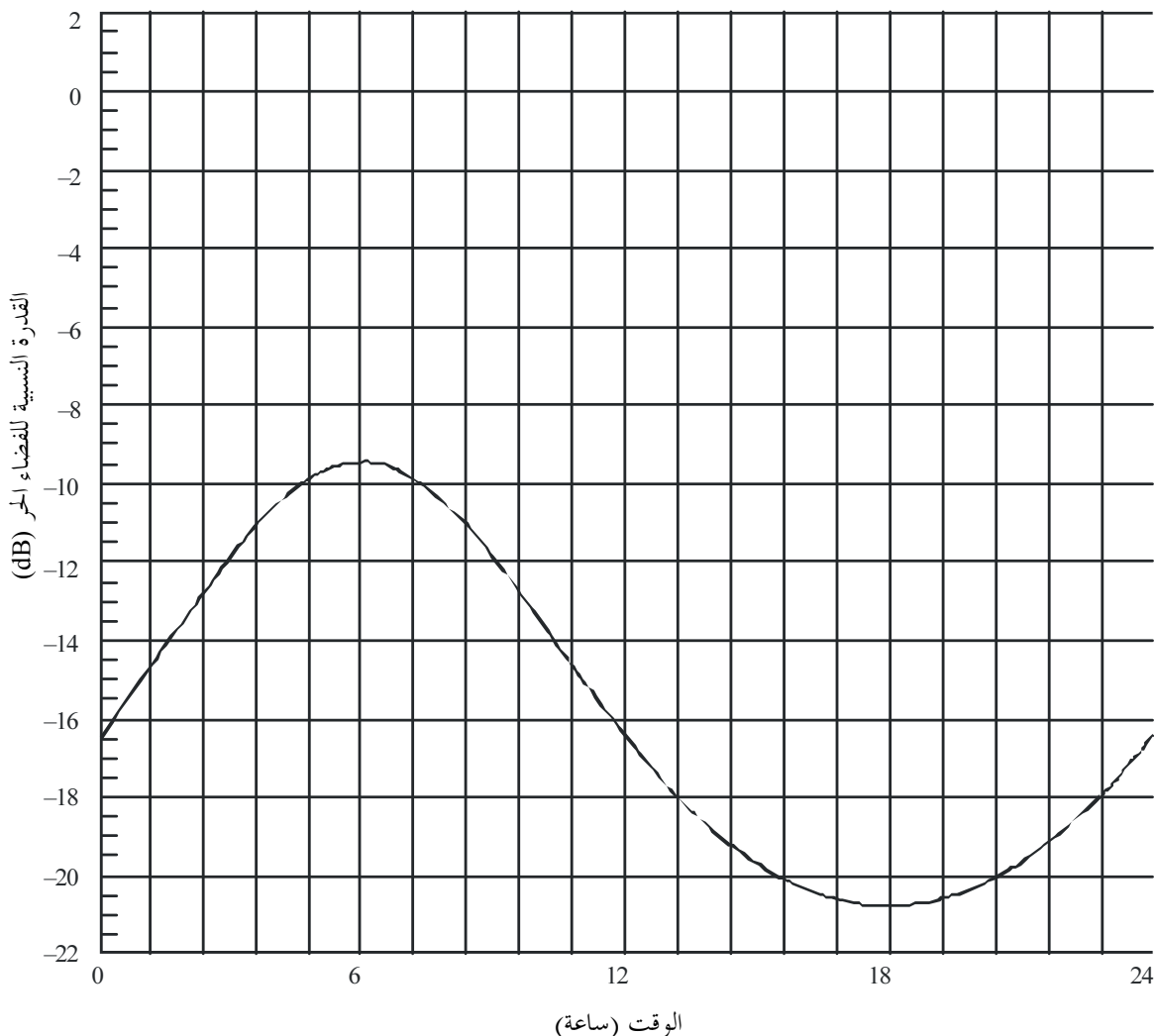
ويعتبر هوائي الخدمة الثابتة المبني على الأبراج أسوأ الحالات بالنسبة إلى التداخل، لأن توهين الانعراج الناتج يكون ضئيلاً إلا في حالة سد مسیر التداخل المحتمل خلف البرج بواسطة حاجز طبيعي أو من صنع الإنسان. ويجب أن تراعى مثل هذه الوصلات للتداخل حينما يتعذر الاستغناء عنها لأسباب التشغيل إذا كان بث الخدمة الثابتة سيتعذر بدونها حددود كثافة طيف القدرة e.i.r.p. يلزم عندئذ توفير تعليمات بسيطة تسهل اتباعها.

الشكل 7

الاختلاف اليومي في قدرة التداخل كما يستقبلها ساتل DRS في مدار منحني  $0,1^{\circ}$ :

تخالف موقع مدار الساتل DRS بمقدار  $-0,1^{\circ}$  في مستوى الارتفاع؛

محطة الخدمة الثابتة التي تقع عند خط العرض  $45^{\circ}$  شماليًّاً



## 6 ملخص واستنتاجات

يهدف انتقاء موقع الخدمة الثابتة من نقطة-إلى-نقطة وتشكيلاتها في انتشار كبير المدى لتطبيقات داخل النطاق 26 GHz إلى تخفيف التداخل في الخدمة من خلال توهين الانعراج. ويساعد ذلك كذلك على تخفيف التداخل المحتمل فيما بين الخدمات من محطات إرسال الخدمة الثابتة إلى مستقبل ساتل DRS مستقر بالنسبة إلى الأرض يعقب مركبة فضائية بمدار أرضي منخفض. وبينما تؤدي الحالة "السكنوية" داخل الخدمة إلى التحليل البسيط وفقاً للتوصية ITU-R P.526، تطرح الحالة فيما بين الخدمات مشكلة أكثر تعقيداً.

قدم التحليل من النمط الأول الذي يهدف إلى توفير نظرة لأهمية سد منطقة فريلن كعامل قد يؤدي إلى تخفيف حدود كثافة طيف القدرة e.i.r.p. على بث محطات الخدمة الثابتة تجاه الواقع المدارية للساتل DRS، الاختلافات اليومية لتهجين الانعراج واعتمادها على الموقع الاسمي للساتل DRS، بالنسبة إلى الخط الواصل بين هوائي الإرسال وهوائي الاستقبال للخدمة الثابتة. ويمكن أن تكون السوية الاسمية للنمذاج الواردة هي نفس قيمة الفضاء الحر أو أدنى من قيمة الفضاء الحر بمقدار 16,5 dB. وبين ذلك أنه يجب تحديد السوية المسموح بها للقدرة e.i.r.p. بالنسبة إلى محطات الخدمة الثابتة ذات سد منطقة فريلن على أساس موقع إلى موقع، مع مراعاة العوامل الجغرافية والهندسية التي تؤثر على محطة الخدمة الثابتة لمصير الساتل DRS.

ويجدر بالذكر أنه عندما تكون محطة مدار الساتل DRS داخل النطاق الأساسي على أساس من نقطة إلى نقطة هوائي إرسال الخدمة الثابتة، لكن يعوقها مبني أو عناصر طوبوغرافية أخرى، من المتوقع أن يكون جزء آخر من القوس المستقر بالنسبة إلى الأرض مرئياً داخل الحزمة الرئيسية هوائي الخدمة الثابتة دون أي إعاقة، كي تقييد محطة الخدمة الثابتة بالشروط الواردة في البند 3 من توصيتي.